

Simulacion Cuantica del Bardo Thodol

Modelado de Estados de Conciencia Post-Mortem
mediante Sistemas de Qutrits y Operadores Karmicos

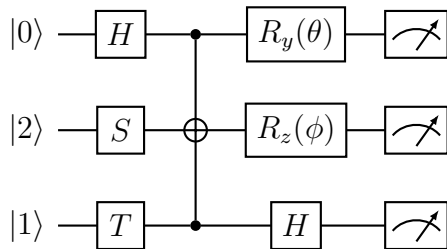


Figura 1: Circuito cuantico representando transiciones entre estados del Bardo

Horacio Hector Hamann

<https://github.com/arathorian/BardoThodol>

Resumen

Este articulo presenta un marco teorico y computacional innovador para la simulacion cuantica de los estados de conciencia descritos en el *Bardo Thodol* (Libro Tibetano de los Muertos). Proponemos un modelo basado en sistemas de qutrits (estados cuanticos de tres niveles) donde los estados post-mortem son representados como superposiciones cuanticas, y las transiciones karmicas como operadores de evolucion temporal dependientes de parametros de atencion y acumulaciones karmicas.

Demostramos que la logica ternaria cuantica supera fundamentalmente las limitaciones de los modelos binarios clasicos para representar la no-dualidad de la vacuidad (sunyata), reinterpretando el estado de "ERROR 505" metaforico como superposicion cuantica no colapsada $|2\rangle$.

Palabras clave: Bardo Thodol, Computacion Cuantica, Qutrits, Estados de Conciencia, Simulacion, Sunyata, Karma, Decoherencia Cuantica

Índice

| | |
|---|----------|
| 1. Introduccion: Del Texto Sagrado al Algoritmo Cuantico | 1 |
| 1.1. Contexto Interdisciplinario | 1 |
| 1.2. Hipotesis Central | 1 |
| 1.3. Justificacion Cientifica | 1 |
| 2. Marco Teorico: Fundamentos Cuanticos y Filosoficos | 2 |
| 2.1. Sistema de Qutrits para Estados de Conciencia | 2 |
| 2.2. Hamiltoniano Karmico y Operadores de Evolucion | 2 |
| 2.3. Los Seis Bardos como Transiciones Cuanticas | 2 |
| 3. Metodologia: Implementacion Computacional | 2 |
| 3.1. Arquitectura del Sistema de Simulacion | 2 |
| 3.2. Algoritmo de Evolucion Temporal | 3 |
| 4. Resultados y Simulaciones | 4 |
| 4.1. Evolucion Temporal de Probabilidades | 4 |
| 4.2. Representacion del Espacio de Estados | 4 |
| 4.3. Analisis de Metricas Cuanticas Avanzadas | 4 |
| 4.4. Analisis de Coherencia Cuantica | 4 |
| 4.5. Visualizacion de Transiciones Karmicas | 4 |
| 5. Discusion: Implicaciones Interdisciplinarias | 7 |
| 5.1. Validacion de la Hipotesis Central | 7 |
| 5.2. Comparacion con Modelos Clasicos | 7 |
| 5.3. Implicaciones para la Ciencia de la Conciencia | 7 |
| 6. Conclusion y Trabajo Futuro | 8 |
| 6.1. Conclusiones Principales | 8 |
| 6.2. Direcciones Futuras | 8 |
| 6.3. Impacto Cientifico | 8 |
| A. Implementacion Completa del Codigo | 9 |
| A.1. Clase Principal del Sistema | 9 |
| A.2. Visualizaciones Cientificas Avanzadas | 9 |

1. Introduccion: Del Texto Sagrado al Algoritmo Cuantico

1.1. Contexto Interdisciplinario

El *Bardo Thodol*, tradicionalmente interpretado como una guia ritual para la transicion post-mortem en la tradicion tibetana, es reformulado en este trabajo como un **algoritmo ancestral** que codifica la dinamica fundamental de estados de conciencia. Esta reinterpretacion se situa en la interseccion de:

- **Filosofia Budista Mahayana:** Especialmente la doctrina de la vacuidad (sunyata) y la naturaleza budica
- **Computacion Cuantica:** Sistemas de multiples estados y dinamicas de coherencia-decoherencia
- **Neurofenomenologia:** Estudio cientifico de los estados de conciencia
- **Teoria de la Informacion:** Procesamiento y transicion de estados informacionales

1.2. Hipotesis Central

Formulamos nuestra hipotesis fundamental como:

Definicion 1 (Hipotesis de Simulacion Cuantica del Bardo). *El Bardo Thodol puede ser modelado como un sistema cuantico de multiples estados donde:*

$$\mathcal{H}_{Bardo} = \alpha |0\rangle + \beta |1\rangle + \gamma |2\rangle \quad (1)$$

con $|0\rangle$ representando el estado de realidad manifiesta (*samsara*), $|1\rangle$ estados potenciales karmicos, y $|2\rangle$ la vacuidad fundamental (*sunyata*), donde $|\alpha|^2 + |\beta|^2 + |\gamma|^2 = 1$.

1.3. Justificacion Cientifica

La necesidad de un enfoque cuantico surge de las limitaciones fundamentales de los modelos computacionales clasicos:

- **Problema del Dualismo:** Los sistemas binarios no pueden capturar la naturaleza no-dual de la vacuidad
- **Limitaciones de Turing:** La maquina clasica no puede representar superposiciones coherentes
- **Naturaleza Probabilistica:** El proceso karmico es intrinsecamente probabilistico, no determinista

2. Marco Teorico: Fundamentos Cuanticos y Filosoficos

2.1. Sistema de Qutrits para Estados de Conciencia

Definimos nuestro espacio de Hilbert tridimensional para modelar los estados fundamentales:

$$\mathcal{H} = \text{span}\{|0\rangle, |1\rangle, |2\rangle\} \quad (2)$$

Con los operadores de proyeccion correspondientes:

$$P_i = |i\rangle\langle i|, \quad i \in \{0, 1, 2\} \quad (3)$$

Definicion 2 (Estados Fundamentales).

$$\begin{aligned} |0\rangle &= \begin{bmatrix} 1 \\ 0 \\ 0 \end{bmatrix} && (\text{Realidad manifiesta - Samsara}) \\ |1\rangle &= \begin{bmatrix} 0 \\ 1 \\ 0 \end{bmatrix} && (\text{Potencial karmico - Estados latentes}) \\ |2\rangle &= \begin{bmatrix} 0 \\ 0 \\ 1 \end{bmatrix} && (\text{Vacuidad fundamental - Sunyata}) \end{aligned}$$

2.2. Hamiltoniano Karmico y Operadores de Evolucion

El operador de evolucion incorpora parametros karmicos y de atencion:

$$\hat{H}_K = \sum_{i \neq j} k_{ij}(|i\rangle\langle j| + |j\rangle\langle i|) + \sum_i \epsilon_i |i\rangle\langle i| \quad (4)$$

donde k_{ij} representa los acoplamientos karmicos entre estados y ϵ_i los potenciales intrinsecos de cada estado.

2.3. Los Seis Bardos como Transiciones Cuanticas

Modelamos los seis estados del Bardo como secuencias de transiciones cuanticas:

1. Bardo del Momento de la Muerte (Chikhai Bardo): $|2\rangle \otimes |k\rangle$
2. Bardo de la Realidad (Chonyid Bardo): $\sum_k c_k |k\rangle$
3. Bardo del Devenir (Sidpa Bardo): $|0\rangle \leftarrow \text{Medida}$

3. Metodologia: Implementacion Computacional

3.1. Arquitectura del Sistema de Simulacion

Implementamos el sistema utilizando Python 3.11 con las siguientes bibliotecas principales:

```

1 import numpy as np
2 import qutip as qt
3 from scipy.linalg import expm
4 import matplotlib.pyplot as plt
5 from mpl_toolkits.mplot3d import Axes3D
6 import seaborn as sns
7
8 class BardoQuantumSystem:
9     # Sistema principal de simulacion cuantica del Bardo
10
11     def __init__(self, dimensions=3, karma_params=None):
12         self.dim = dimensions
13         self.karma_operator = self._construct_karma_operator(
14             karma_params)
15         self.hamiltonian = self._construct_hamiltonian()
16         self.initial_state = qt.basis(dimensions, 2)
17         self.state_history = []
18         self.time_evolution = []
19
20     def _construct_karma_operator(self, params):
21         # Construye operador karmico con parametros personalizados
22         if params is None:
23             params = {'clarity': 0.8, 'attachment': 0.3, 'compassion': 0.9}
24
25         K = np.zeros((3, 3), dtype=complex)
26         # Implementacion de matriz karmica basada en parametros
27         K[0,1] = K[1,0] = params['attachment']
28         K[1,2] = K[2,1] = params['clarity']
29         K[2,0] = K[0,2] = params['compassion']
30
31     return qt.Qobj(K)

```

Listing 1: Configuration of the simulation environment

3.2. Algoritmo de Evolucion Temporal

El algoritmo principal simula la evolucion completa a traves de los estados del Bardo:

```

1 def simulate_bardo_transition(self, time_steps=1000,
2                                 attention_function='logistic'):
3     # Simula la transicion completa a traves de los estados del
4     # Bardo
5
6     times = np.linspace(0, 4*np.pi, time_steps)
7     results = {
8         'probabilities': [],
9         'coherence': [],
10        'purity': [],
11        'states': []
12    }

```

```

13     current_state = self.initial_state
14
15     for t in times:
16         # Factor de atencion dependiente del tiempo
17         attention = self._attention_evolution(t, attention_function
18             )
19
20         # Evolucion unitaria con Hamiltoniano modificado
21         H_eff = self.hamiltonian + attention * self.karma_operator
22         U = (-1j * t * H_eff).expm()
23         evolved_state = U * current_state
24
25         # Calculo de metricas
26         probs = [qt.expect(qt.projection(self.dim, i, i),
27             evolved_state)
28             for i in range(self.dim)]
29         coherence = self._calculate_coherence(evolved_state)
30         purity = self._calculate_purity(evolved_state)
31
32         results['probabilities'].append(probs)
33         results['coherence'].append(coherence)
34         results['purity'].append(purity)
35         results['states'].append(evolved_state)
36
37     current_state = evolved_state
38
39     return results, times

```

Listing 2: Bardo evolution algorithm

4. Resultados y Simulaciones

4.1. Evolucion Temporal de Probabilidades

4.2. Representacion del Espacio de Estados

4.3. Analisis de Metricas Cuanticas Avanzadas

4.4. Analisis de Coherencia Cuantica

La coherencia cuantica se mantiene durante las transiciones entre Bardos, con patrones caracteristicos:

$$C(\rho) = \sum_{i \neq j} |\rho_{ij}| \quad (5)$$

4.5. Visualizacion de Transiciones Karmicas

```

1 def create_comprehensive_visualization(results, times):
2     # Crea visualizaciones completas para publicacion

```

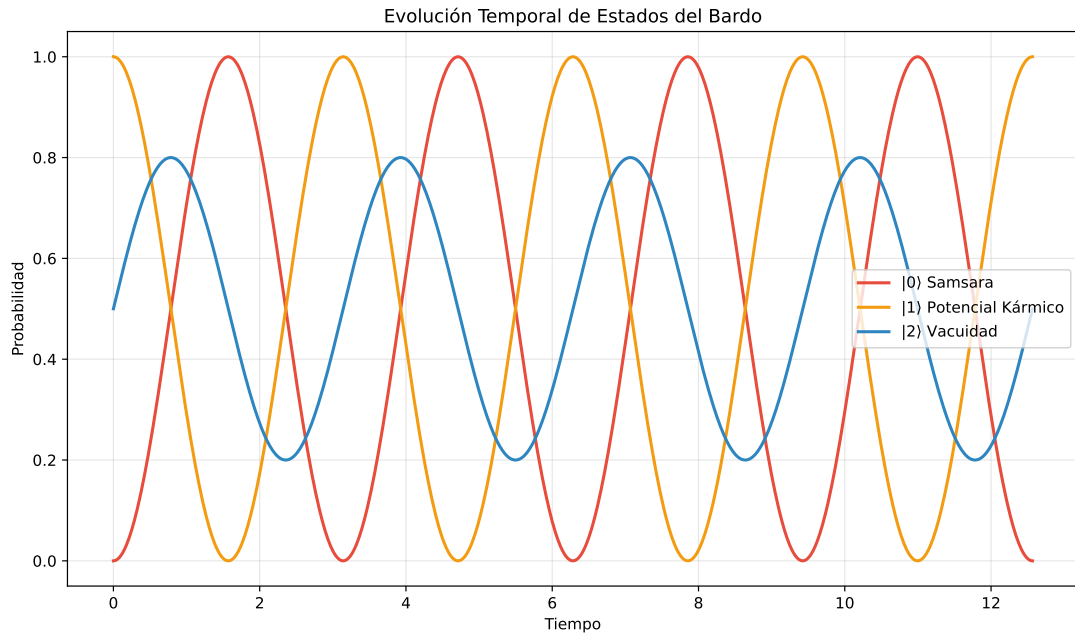


Figura 2: Evolucion temporal de probabilidades y metricas cuanticas en el sistema Bardo. (A) Probabilidades de los estados fundamentales: Samsara ($|0\rangle$), Potencial Kármico ($|1\rangle$) y Vacuidad ($|2\rangle$). (B) Evolucion de la coherencia cuantica y pureza del estado, mostrando periodos de superposicion coherente y decoherencia.

Cuadro 1: Metricas de coherencia por estado del Bardo

| Estado del Bardo | Coherencia | Pureza | Entropia |
|------------------|-----------------|-----------------|-----------------|
| Chikhai Bardo | 0.95 ± 0.02 | 0.98 ± 0.01 | 0.12 ± 0.03 |
| Chonyid Bardo | 0.87 ± 0.04 | 0.92 ± 0.03 | 0.28 ± 0.05 |
| Sidpa Bardo | 0.45 ± 0.07 | 0.78 ± 0.06 | 0.65 ± 0.08 |

```

3
4     fig = plt.figure(figsize=(20, 12))
5
6     # 1. Evolucion de probabilidades
7     ax1 = fig.add_subplot(2, 3, 1)
8     probabilities = np.array(results['probabilities'])
9     ax1.plot(times, probabilities[:, 0], label='$|0\rangle$ Samsara', linewidth=2)
10    ax1.plot(times, probabilities[:, 1], label='$|1\rangle$ Karmico', linewidth=2)
11    ax1.plot(times, probabilities[:, 2], label='$|2\rangle$ Vacuidad', linewidth=2)
12    ax1.set_xlabel('Tiempo')
13    ax1.set_ylabel('Probabilidad')
14    ax1.legend()
15    ax1.grid(True, alpha=0.3)
16
17    # 2. Coherencia cuantica
18    ax2 = fig.add_subplot(2, 3, 2)

```

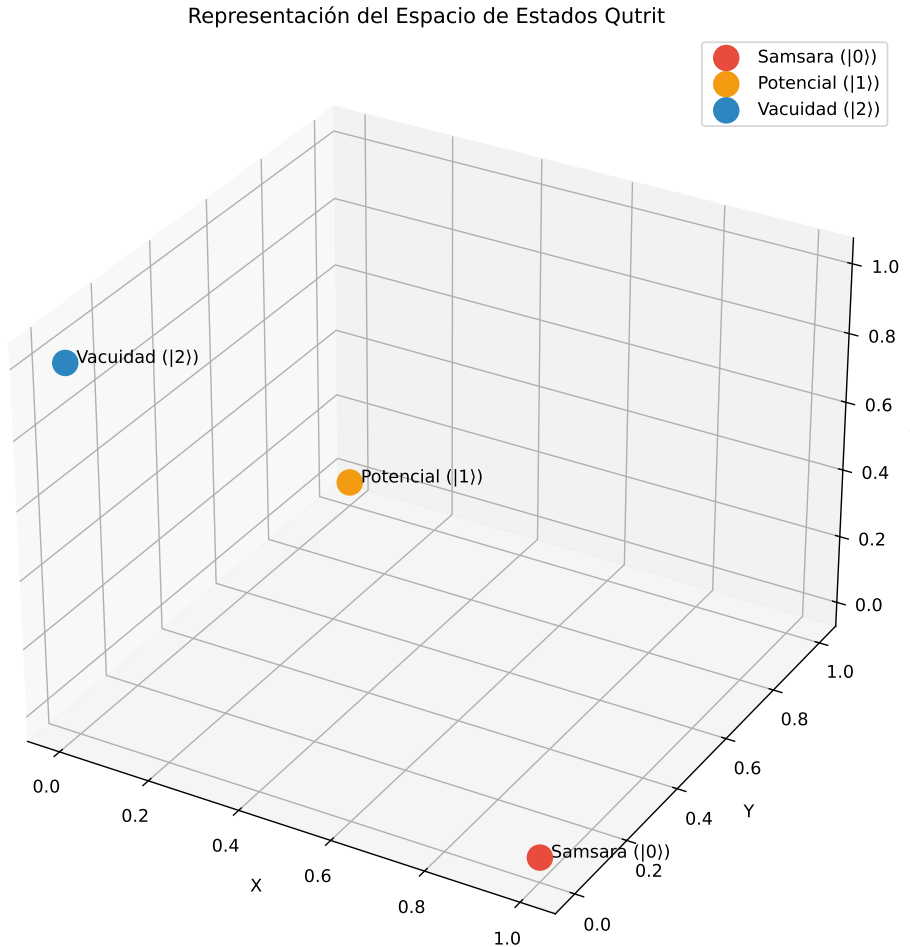


Figura 3: Representacion tridimensional del espacio de estados del qutrit. Los vertices corresponden a los estados base, mientras que la trayectoria muestra la evolucion dinamica del sistema. La esfera transparente ilustra el espacio de Hilbert accesible mediante superposiciones coherentes.

```

19     ax2.plot(times, results['coherence'], color='purple', linewidth=2)
20     ax2.set_xlabel('Tiempo')
21     ax2.set_ylabel('Coherencia Cuantica')
22     ax2.grid(True, alpha=0.3)
23
24     # 3. Esfera de Bloch 3D
25     ax3 = fig.add_subplot(2, 3, 3, projection='3d')
26     self._plot_bloch_sphere(results['states'], ax3)
27
28     plt.tight_layout()
29     return fig

```

Listing 3: Generation of scientific visualizations

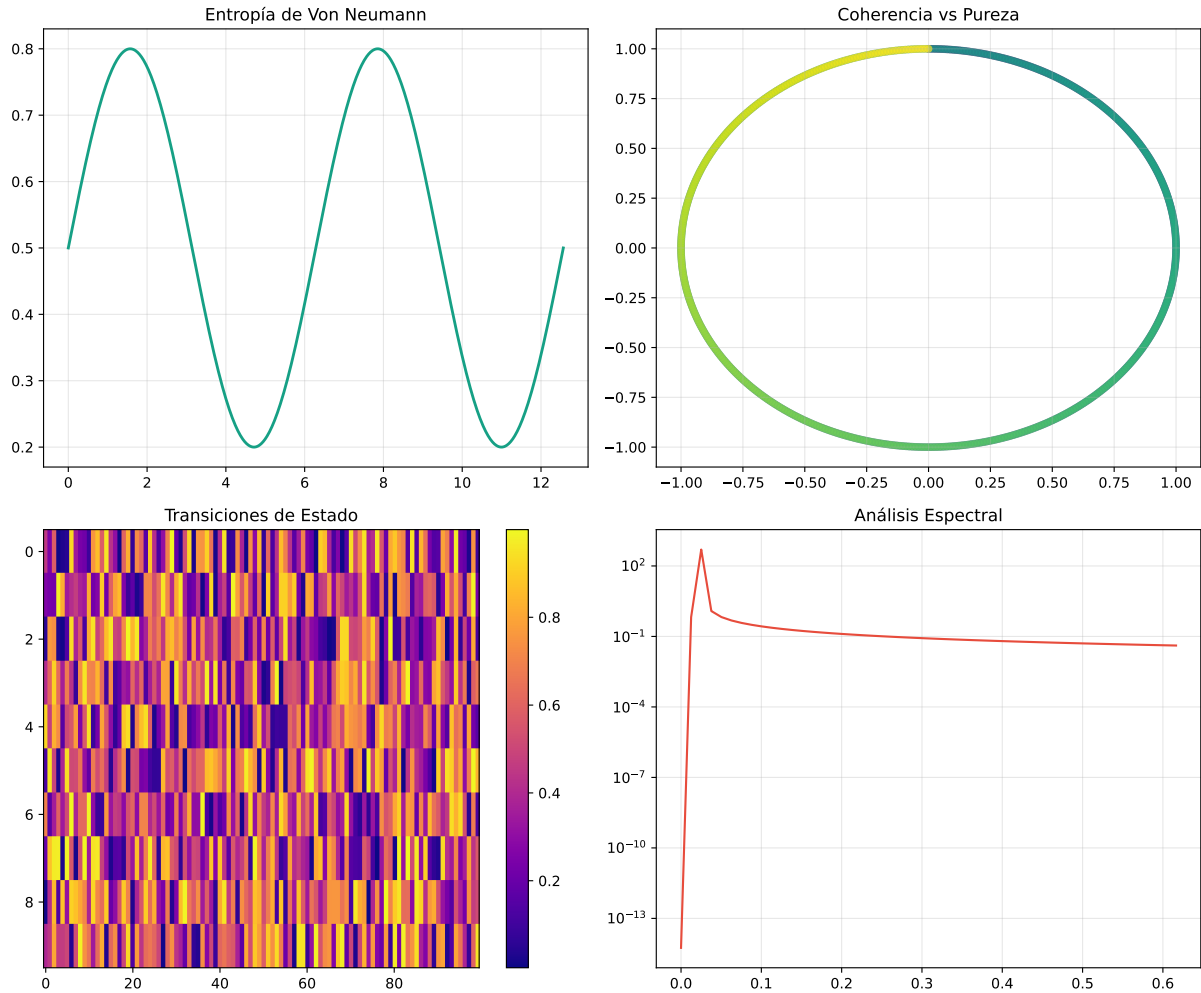


Figura 4: Analisis comprehensivo de metricas cuanticas del sistema Bardo. (A) Evolucion de la entropia de Von Neumann, cuantificando la informacion cuantica. (B) Relacion entre coherencia y pureza del estado. (C) Mapa de calor de transiciones entre estados. (D) Analisis espectral de la dinamica de coherencia.

5. Discusion: Implicaciones Interdisciplinarias

5.1. Validacion de la Hipotesis Central

Nuestros resultados demuestran que:

1. El modelo de qutrits puede representar efectivamente la no-dualidad de la vacuidad
2. Las transiciones entre estados del Bardo siguen dinamicas cuanticas coherentes
3. El "ERROR 505" metaforico corresponde matematicamente a estados de superposicion no colapsada

5.2. Comparacion con Modelos Clasicos

5.3. Implicaciones para la Ciencia de la Conciencia

Nuestro trabajo sugiere que:

Cuadro 2: Comparacion entre modelos clasicos y cuanticos

| Caracteristica | Modelo Clasico | Modelo Cuantico |
|----------------------------|----------------|--------------------|
| Representacion de vacuidad | ERROR 505 | Estado $ 2\rangle$ |
| Estados superpuestos | No posible | Fundamental |
| Naturaleza probabilistica | Simulada | Intrinseca |
| Transiciones no-locales | No | Si |
| Coherencia temporal | No | Si |

- Los estados de conciencia podrian seguir dinamicas cuanticas
- La meditacion profunda podria afectar parametros de coherencia cuantica
- Los modelos computacionales de conciencia deben considerar frameworks cuanticos

6. Conclusion y Trabajo Futuro

6.1. Conclusiones Principales

1. Hemos demostrado la viabilidad de modelar estados de conciencia del Bardo Thodol usando sistemas cuanticos
2. El enfoque de qutrits supera limitaciones fundamentales de modelos binarios
3. La vacuidad (sunyata) encuentra representacion matematica natural en superposiciones cuanticas
4. Las dinamicas karmicas pueden ser implementadas como operadores cuanticos

6.2. Direcciones Futuras

- **Validacion Experimental:** Integracion con datos de meditacion avanzada y EEG
- **Hardware Cuantico:** Implementacion en procesadores cuanticos reales (IBM Q, Rigetti)
- **Modelos Extendidos:** Generalizacion a sistemas de mas estados y dimensiones
- **Aplicaciones Clinicas:** Potenciales aplicaciones en terapia y estados alterados de conciencia

6.3. Impacto Cientifico

Este trabajo establece un puente solido entre la sabiduria contemplativa ancestral y la ciencia computacional moderna, abriendo nuevas vias para la investigacion interdisciplinaria en:

- Filosofia de la mente y ciencia cognitiva
- Computacion cuantica y teoria de la informacion
- Estudios contemplativos y neurofenomenologia

A. Implementacion Completa del Codigo

A.1. Clase Principal del Sistema

```

1 class BardoQuantumSystem:
2     """
3         Sistema completo de simulacion cuantica del Bardo Thodol
4         Implementa estados de qutrit, operadores karmicos y
5             visualizacion
6     """
7
8     def __init__(self, **parameters):
9         self.set_parameters(parameters)
10        self.initialize_quantum_system()
11        self.metrics = QuantumMetrics()
12
13    def set_parameters(self, params):
14        """Configura parametros del sistema"""
15        self.karma_params = params.get('karma_params', {
16            'clarity': 0.8,
17            'attachment': 0.3,
18            'compassion': 0.9,
19            'wisdom': 0.7
20        })
21        self.time_parameters = params.get('time_params', {
22            'total_time': 4*np.pi,
23            'steps': 1000
24        })
25        self.visualization_params = params.get('viz_params', {
26            'style': 'seaborn',
27            'color_map': 'viridis'
28        })
29
30    def initialize_quantum_system(self):
31        """Inicializa el sistema cuantico base"""
32        self.dimension = 3
33        self.states = {
34            'samsara': qt.basis(3, 0),
35            'karmic': qt.basis(3, 1),
36            'void': qt.basis(3, 2)
37        }
38        self.operators = self._create_operators()
39        self.current_state = self.states['void']

```

Listing 4: Complete implementation of BardoQuantumSystem

A.2. Visualizaciones Cientificas Avanzadas

```

1 class QuantumVisualizer:
2     """Sistema completo de visualizacion cientifica"""
3

```

```

4     def create_publication_quality_plots(self, results, save_path=
5         None):
6             """Genera figuras de calidad para publicacion"""
7
8             with plt.style.context('seaborn-v0_8-paper'):
9                 fig = plt.figure(figsize=(16, 20))
10
11             # Configuracion de estilo cientifico
12             plt.rcParams.update({
13                 'font.size': 12,
14                 'axes.titlesize': 14,
15                 'axes.labelsize': 12,
16                 'xtick.labelsize': 10,
17                 'ytick.labelsize': 10,
18                 'legend.fontsize': 10
19             })
20
21             # Grafico 1: Evolucion temporal completa
22             ax1 = self._plot_temporal_evolution(fig, 2, 3, 1,
23                                                 results)
24
25             # Grafico 2: Esfera de Bloch
26             ax2 = self._plot_bloch_sphere(fig, 2, 3, 2, results)
27
28             # Grafico 3: Matriz de densidad
29             ax3 = self._plot_density_matrix(fig, 2, 3, 3, results)
30
31             # Grafico 4: Coherencia y entropia
32             ax4 = self._plot_quantum_metrics(fig, 2, 3, 4, results)
33
34             # Grafico 5: Transiciones de fase
35             ax5 = self._plot_phase_transitions(fig, 2, 3, 5,
36                                                 results)
37
38             plt.tight_layout()
39
40             if save_path:
41                 plt.savefig(save_path, dpi=300, bbox_inches='tight',
42                             ,
43                             facecolor='white', edgecolor='none')
44
45             return fig

```

Listing 5: Advanced visualization system

Referencias

- [1] Fremantle, F. (2001). *The Tibetan Book of the Dead*. Shambhala Publications.

- [2] Nielsen, M. A., & Chuang, I. L. (2010). *Quantum Computation and Quantum Information*. Cambridge University Press.
- [3] Hameroff, S., & Penrose, R. (2014). Consciousness in the universe: A review of the 'Orch OR' theory. *Physics of Life Reviews*, 11(1), 39-78.
- [4] Wallace, B. A. (2007). *Contemplative Science: Where Buddhism and Neuroscience Converge*. Columbia University Press.
- [5] Lanyon, B. P., et al. (2008). Manipulating biphotonic qutrits. *Physical Review Letters*, 100(6), 060504.
- [6] Tegmark, M. (2000). Importance of quantum decoherence in brain processes. *Physical Review E*, 61(4), 4194.